



Artike

Anwendung der mikrobiell induzierten Karbonatfällung für Zerfallskontrolle von Granitrestböden

Luo Xiaovan

- 1, Yingqi Feng
- ², Chunjun Li
- 1 und Weiping Liu 2,*
- Fakultät für Bauingenieurwesen und Architektur, Jiangxi Science and Technology Normal University, Nanchang 330013, China; luoxiaoyan2@126.com (XL); lichunjun2001@126.com (CL)
- ² Fakultät für Infrastrukturtechnik, Universität Nanchang, Nanchang 330031, China; sdtcfyq@163.com
- * Korrespondenz: liuweiping@ncu.edu.cn

Zusammenfassung: Granitrestböden sind im Südosten Chinas weit verbreitet. Diese Böden weisen mechanische Eigenschaften wie Lockerheit, starke Risse und leichten Zerfall auf, was bei Regen zu schweren Bodenerosionen führen kann. Die mikrobiell induzierte Karbonatfällung (MICP) ist eine umweltfreundliche Alternative zur Bodenstabilisierung. Diese Studie schlägt eine neue Strategie zur Zerfallskontrolle von Granitrestböden unter Verwendung der MICP-Technologie vor. Die Auswirkungen der Konzentration der Bakterienlösung, der Konzentration der Zementierungslösung und des Behandlungszyklus werden durch einen Zerfallstest untersucht. Die optimalen Behandlungsparameter für Granitrestböden unter Verwendung der MICP- Technologie werden durch Analyse der Zerfallsprozesse und der Restqualitätsindikatoren des Zerfalls ermittelt. Die Ergebnisse zeigen, dass die behandelten Proben drei Arten des Zerfalls aufweisen: vollständige Zersetzung, unvollständige Zersetzung und Nicht-Zersetzung. Das ausgefällte Calciumcarbonat (CaCO3) bindet die Bodenpartikel und füllt die Poren. Unter Berücksichtigung der Wirksamkeit und Kosten sowie einer Bakterienlösungskonzentration von OD600 = 0,75 sind fünf Zyklen der MICP-Behandlung mit einer Zementierungslösungskonzentration von 1,2 mol/l optimal für Die Zementierungswirkung von CaCO3 wird durch Rasterelektronenmikroskopie (REM) mit einem energiedispersiven Röntgenspektroskop (EDX) nachgewiesen. Diese Ergebnisse lassen darauf schließen, dass MICP ein vielversprechender Kandidat zur Kontrolle des Zerfalls von Granitrestböden ist.

Schlüsselwörter: Granitrestboden; mikrobiell induzierte Karbonatfällung; Zerfall; Konzentration bakterieller Lösung; Konzentration der Zementierungslösung; Behandlungszyklus



Granitrestboden entsteht durch eine Reihe physikalischer und chemischer Verwitterungsprozesse des Muttergesteins Granit, das im Südosten Chinas weit verbreitet ist. Dieser Bodentyp ist locker, weist viele Risse auf und zerfällt leicht [1–3], was bei Regen zu schwerer Bodenerosion führt [4–6]. In Benggang gibt es 239.125 Standorte mit einer Fläche von 1.220,05 km² [7,8] und einer durchschnittlichen Erosionsrate von 590.000 t/(km² ·Jahr) [9]. Benggang ist durch eine hohe Erosionsintensität und ein ausgedehntes Erosionsgebiet gekennzeichnet [10,11]. Der Kreis Yudu , einer der Kreise mit schwerer Bodenerosion in der chinesischen Provinz Jiangxi, macht 29,17 % des gesamten Kreises aus, der auf Benggang zurückzuführen ist .

Die traditionellen Methoden zum Schutz von Böschungen in den Benggang-Gebieten basieren hauptsächlich auf Pflanzen- und Ingenieurmaßnahmen, die Nachteile wie einen hohen Ingenieuraufwand , unbequeme Konstruktion, hohe Kosten und lange Zeit haben [12–14]. Daher ist es von großer technischer Bedeutung, eine neue Strategie zum Schutz von Böschungen zu finden, die energiesparend, umweltfreundlich und auf Granitrestböden einfach zu errichten ist. Die mikrobiell induzierte Karbonatfällung (MICP) ist eine der in den letzten Jahren aufkommenden geotechnischen Ingenieurtechnologien [15,16]. An ihrem Prozess sind drei typische Substanzen beteiligt: Bakterien, Substrat und Kalziumquelle, die in einer biologischen Reaktion Karbonatkristalle um die Bodenpartikel herum ausfällen und so die Bodenstruktur umgestalten [17,18]. Be



Zitat: Luo, X.; Feng, Y.; Li, C.; Liu,
W. Anwendung mikrobiell induzierter
Karbonatfällung zur Kontrolle der
Zersetzung von Granitrestböden . Appl.
Sci. 2024, 14, 6343. https://doi.org/10.3390/app14146343

Wissenschaftlicher Redakteur: Syed Minhaj Saleem Kazmi

Empfangen: 3. Mai 2024 Überarbeitet: 15. Juni 2024 Akzeptiert: 2. Juli 2024 Veröffentlicht: 20. Juli 2024



Copyright: © 2024 bei den Autoren.

Lizenznehmer MDPI, Basel, Schweiz.

Dieser Artikel ist ein Open Access-Artikel vertrieben unter den Bedingungen und

Bedingungen der Creative Commons

Namensnennungslizenz (CC BY)

(https:// creativecommons.org/licenses/by/4.0/).

Appl. Sci. 2024, 14, 6343 2 von 19

Auf einem im Boden angereicherten, Urease produzierenden Bakterium namens Sporosarcina pasteurii (ATCC 11859) verwendet es Harnstoff als Substrat, katalysiert die Hydrolyse von Harnstoff und CO3^{2y} zur Erzeugung von NH4 durch Stoffwechsel und zieht Ca2+ durch die negative Ladung an, die von Makromolekülen wie Proteinen innerhalb des Bakteriums erzeugt wird, und induziert so die Ausfällung von CaCO3.

Während des Bindevorgangs werden keine giftigen Substanzen erzeugt, was darauf hindeutet, dass es ein umweltfreundliches Bindematerial ist [19,20]. MICP weist außerdem eine hohe Anwendbarkeit und Wasserstabilität auf, wodurch verschiedene Bodenarten wie organischer Boden [21], Löss [22], Sand [23], Eisenabraum [24] und Wüste [25] wirksam verbessert werden können. Die Verbesserungen, die MICP bei geotechnischen Materialien erzielt, hängen auch von den Einflussfaktoren verschiedener Mineralisierungsprozesse ab, wie beispielsweise den Calciumquellen [26], der Konzentration der Bakterienlösung [27], der Konzentration der Zementierungslösung [28], dem Verhältnis der Zementlösung [29], dem Aushärtungsalter [30] und dem pH-Wert [24]. Die Bildung von Calciumcarbonatkristallen hat einen erheblichen Einfluss auf die physikalischen und mechanischen Eigenschaften des behandelten Bodens. Der mit MICP behandelte Boden ist weiterhin für Pflanzenwachstum geeignet und sein Restharnstoff kann als Nährstoff dienen [19]. Es liegen jedoch nur begrenzte Studien zur MICP-Modifizierung von Granitrestböden im Benggang-Gebiet vor, um deren Widerstandsfähigkeit gegen Regenerosion

Ein wichtiger Weg zur Verhinderung von Boden- und Wasserverlusten im Erosionsbereich besteht darin, die Wasserstabilität des Oberflächenbodens zu verbessern und dadurch seine Erosionsbeständigkeit zu erhöhen. Der oberflächliche Granitrestboden im Benggang-Gebiet ist nach längerer Verwitterung im Allgemeinen locker. Die durch MICP erzeugten Kalziumkarbonatkristalle können Bodenporen füllen und ihre Zementierung verbessert die Verbindungsstärke zwischen Bodenpartikeln [28].

Es ist von entscheidender Bedeutung, die geeigneten Parameter von MICP zu bestimmen, wie z. B. die Konzentration der Bakterienlösung und die Konzentration der Instrumentenlösung [23]. Daher ist für die praktische technische Anwendung von MICP bei der Verhinderung und Bekämpfung der Bodenerosion eine quantitative Analyse erforderlich.

Der Bodenzerfall bezeichnet die Haltbarkeit von Boden bei Kontakt mit stehendem Wasser und kann zur Bewertung seiner Wasserstabilität verwendet werden [31–33]. Liu et al. [34] untersuchten das Zerfallsverhalten von Granitrestböden entlang eines typischen Verwitterungsprofils aus der Stadt Xiamen in China. Sun et al. [35] untersuchten Zerfallsmenge und Zerfallsverhältnis von Bodenproben, die mit Zement, Branntkalk und Kaolinit behandelt wurden. Zhang et al. [36] zeigten, dass das effektive Porenverhältnis und die Bodenwasserkennlinien die wichtigsten Kontrollfaktoren sind, die die Zerfallsgeschwindigkeit beeinflussen. Liu et al. [1] erörterten die kombinierten Einflüsse von starkem Niederschlag und saurem Regen auf die Zerfallseigenschaften von Granitrestböden . Die Zerfallseigenschaften von Granitrestböden, die mit der MICP-Technologie behandelt wurden, haben jedoch nicht genügend Aufmerksamkeit erhalten. Es ist notwendig, die Auswirkungen verschiedener Mineralisierungsfaktoren auf die Zerfallsprozesse zu untersuchen . Die optimalen Parameter des MICP zur Zerfallskontrolle von Granitrestböden müssen ermittelt werden.

In diesem Artikel wird die MICP-Methode verwendet, um den Zerfall von Granitrestböden zu verhindern . Eine Reihe von Zerfallsexperimenten unter Berücksichtigung unterschiedlicher Konzentrationen von Bakterienlösungen, Zementierungslösungen und Konzentrationsbehandlungszyklen wird durchgeführt, um die optimalen Parameter der MICP-Methode zu bestimmen. Der Einflussmechanismus von MICP auf den Zerfall von Granitrestböden wird dann anhand mikrostruktureller Merkmale aufgedeckt. Die Widerstandsfähigkeit gegen Erosion durch starke Regenfälle wird in Zukunft untersucht. Diese Studie bereitet die Anwendung der MICP-Technologie zur Kontrolle der Benggang-Erosion vor.

2. Materialien

2.1. Bedingungen für die

Probenentnahme Der Granitrestboden wurde aus einem Erosionsbereich in Benggang in einer Tiefe von 0,5 m in der Stadt Gongjiang (25ÿ59ÿ24ÿÿ N, 115ÿ26ÿ32ÿÿ O), Kreis Yudu, Provinz Jiangxi, in Südchina, entnommen. Die natürliche Trockendichte beträgt 1,50 g/cm3 , die Fließgrenze beträgt 39,3 %, die Plastizitätsgrenze 27,5 %, der Durchlässigkeitskoeffizient beträgt 9,7 × 10ÿ7 cm/s und das spezifische Gewicht beträgt 2,56. Die Korngrößenverteilungskurve ist dargestellt

Angev**Angdwal/WisodMissharkturi/2024/2024**3/96 6343 3 von 2**9** von 19

in Abbeildungh Röntgenberötigtegnemittelten mitteltenlogischen Zussem Zussentzemsetzunsetz

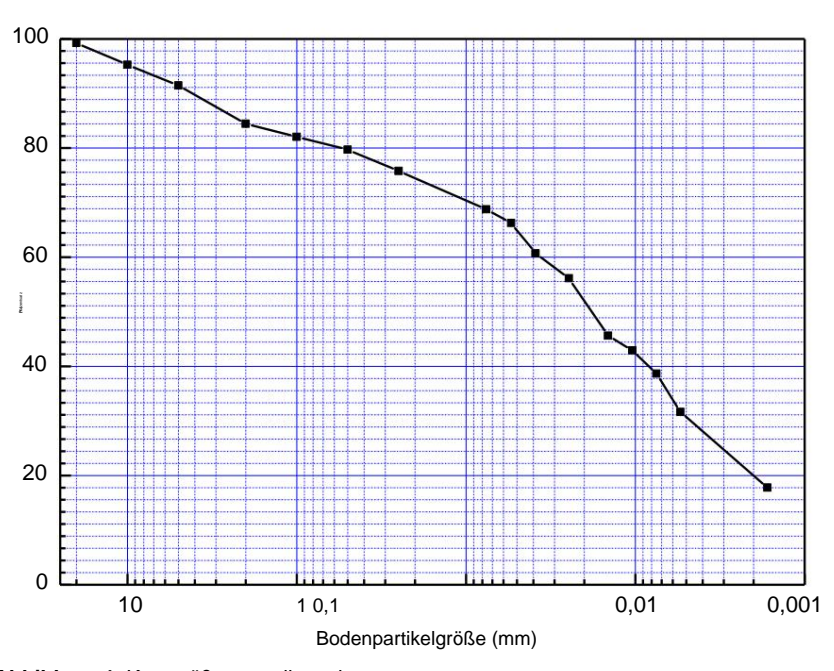


Abbildung 1. Korngrößenverteilungskurve. Abbildung 1. Korngrößenverteilungskurve.

Bakt Baktlesianlösum zerde Zerienentieries galösung 2.2.

Statem in the state of the stat

Die Anfangsdichte (OD600) der gesammelten Bakterienkultur beträgt 1,5. Verschiedene Bakterien Die Anfangsdichte (OD600) der gesammelten Bakterienkultur beträgt 1,5. Durch Zugabe von physiologischer Kochsalzlösung (1,5. Durch Zugabe von Physiologischer Versicht Versicht von Physiologischer Versicht V

Bie in dieser Studie verwerdete Zementierungsjösung bestent aus 1,0 mol/Laquimolarem Harnstoff 1.4 mol/Laquimolarem 1.4 mol/

3. Methoden

3.1. Desintegrationsapparatur Wie

in Abbildung 2 dargestellt wird der Zerfallsversuch mit einer selbstgebauten: Zerfallsapparatur durchgefund der Zerfallsapparatur besteht aus vier Teilen: dem Stützrahmen, der Schleinerungsapparat. Dieser Zerkleinerungsapparat besteht aus vier Teilen: dem Stützrahmen, der Schleinerungsgerichtungsgeber der die Vierten der Stützrahmen der Stützgestell Abbilischer Rabmen aus eine Handerungsgerichtung gegen gegen gegei

4 von 20 Appl. Sci. 2024, 14, 6343

Appl. Sci. 2024, 14, 6343 4 von 19

cm imes 50 cm. Das Spülbecken enthält eine thermostatische Wasserbox und eine kleine Glasbox im Inneren mit den Abmessungen

40 cm x 40 cm x 25 cm bzw. 30 cm x 30 cm x 25 cm. Der Zerfallstest wird in einer statischen Wasserumgebung und bei

konstanter Temperatur durchgeführt. Der Test wird in einer statischen Wasserumgebung und bei konstanter Temperatur durchgeführt. Die Halterung

Halterungsvorrichtung umfasst ein Metallgitter und eine dünne Schnur. Die Öffnungsgröße der Metallgittervorrichtung umfasst ein Metallgitter und eine dunne Schnur. Die Öffnungsgröße des Metallgitters, das für Die zur Unterstützung der Bodenproben verwendete Dicke beträgt 0,9 cm. Die zur Unterstützung der Bodenproben verwendete Dicke beträgt 0,9 cm.

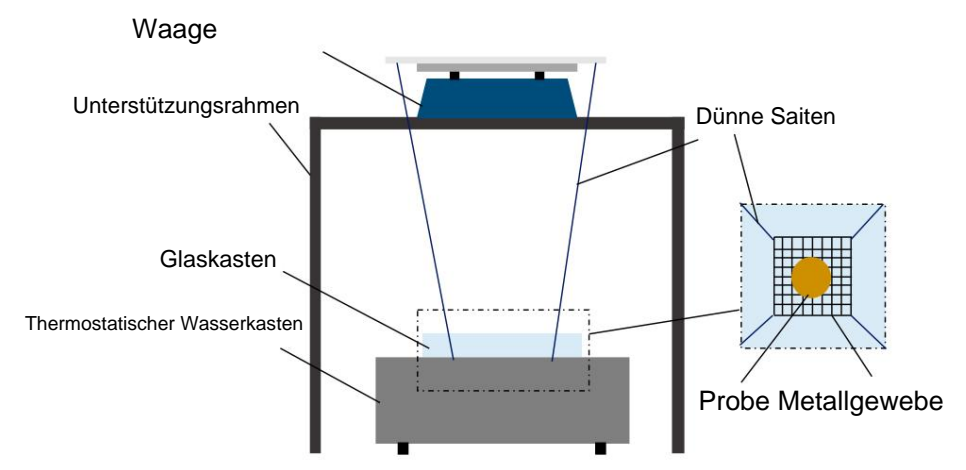


Abbildung 2. Schematische Darstellung des Versuchsgeräts. Abbildung 2. Schematische Darstellung des Versuchsgeräts.

- 3.2 Verfahren des Zerfallstests 3.2. Verfahren
- 3.2 ก็ประการเกาะครางสาราชานาร 3.2.1.

Deddenstation of the control of the

Perantäneliere-Tehntsieneitengthein auf neinen Wert vor 15. Koknytieller die Peterntolen werden ander der Aufreinen. Der

Probe eines Schneidrings von 60 cm3. Der Boden wird statisch auf den Zielwert Boden trocken verdichtet Probe eines Schneidrings von 60 cm3. Der Boden wird statisch auf den Zielwert Boden trocken verdichtet

Dichte von 1,5 g/cm3. Die umgeformte Probe wird in eine versiegelte Box mit konstanter Luftfeuchtigkeit für eine Dichte von 1,5 g/cm3 gelegt.

Die umgeformte Probe wird in eine versiegelte Box mit konstanter Luftfeuchtigkeit für eine Dichte von 1,5 g/cm3 gelegt.

24 Stunden, um eine gleichmäßige Wasserverteilung zu gewährleisten. Die Sterilisationsmethode wird als MICP-Behandlung angewendet. 24 Stunden, um eine gleichmäßige Wasserverteilung zu gewährleisten. Die Sterilisationsmethode wird als MICP-Behandlung angewendet.

ment auf der Oberfläche der Proben. Der Sprühvorgang umfasst zwei Schritte. Zunächst werden 10 mL Behandlung auf der Oberfläche der Proben. Der Sprühvorgang umfasst zwei Schritte. Zunächst werden 10 mL Behandlung auf der Oberfläche der Proben. Bakterienlösung wird gleichmäßig auf die Probenoberfläche gesprüht. Anschließend werden die Proben Bakterienlösung wird gleichmäßig auf die Probenoberfläche gesprüht. Anschließend werden die Proben ausgehartet in der Box mit Konstantier Temperatur und Feuchtigkeit (Raumtemperatur von 25 °C ± 2 °C, ausgehärtet in der Box mit Konstantier Temperatur und Feuchtigkeit (Raumtemperatur von 25 ўC ± 2 ÿC, Luftfeuchtigkeit von 85 % ± 5 %) für 3 Stunden, um sicherzustellen, dass sich die Bakterien ausbreiten und vermehren. Zweitens

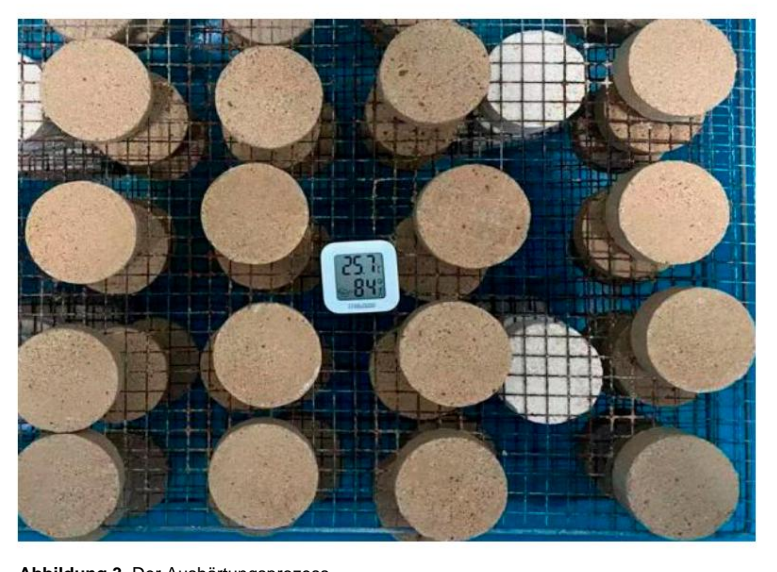
10 Luftfeuchtigkeit von 85 % ± 5 %) für 3 Stunden, um sicherzustellen, dass sich die Bakterien ausbreiten und vermehren. Zweitens 10 mL Zementierlösung wird auf dieselbe Oberfläche gesprüht. Anschließend werden die Proben in einem 20-ml-Kleber aufgesprüht.

Anschließend werden die Proben in einem 20-ml-Kleber aufgesprüht. Anschließend werden die Proben in einem 20-ml-Kleber aufgesprüht. 21 h in der Box mit konstanter Temperatur und Feuchtigkeit aufbewahrt, um eine vollstandige Wirkung zu gewahrleisten 21 h in

zwisenemiteartenenograpund zentertierungstsunginder Austra Wukigsprozestisten Abb. 3 urdargestellt. Bakterienlösung und Zementierungslösung Der Aushärtyngsprozessalsbig Abbag dargestellt.

unhussriihaneina Peylatianierwaewaeiaaaagotiretteaahikung isrsiin. Kulher Biasa Studigs Yytlessulf 3, 5 und 7 zyklen der

5 von 20 methogkenhandungzerruntของเราะกามแบบ Wirkung verschiedener Behandlungszyklen auf



ABBRÜCHURG.3DEPA AUSBRICHURGSPOZESS.

3.2.2. Testprozesse

Der Zerfallstest wird bei einer Wassertemperatur von 25 °C durchgeführt. Die Probe wird auf das Metallgitter gelegt. Während des Tests werden die Proben ins Wasser fallen gelassen. Das Gewicht wird gemäß der Intervallzeit von 5 s aufgezeichnet. In der Zwischenzeit wird der Zerfall

Appl. Sci. 2024, 14, 6343

Appl. Sci. **2024**, 14, 6343 5 von 19

3.2.2. Testprozesse

Der Zerfallstest wird bei einer Wassertemperatur von 25 °C durchgeführt. Die Probe wird auf das Metallgitter gelegt. Während des Tests werden die Proben ins Wasser geworfen. Die Das Gewicht wird gemäß der Intervallzeit von 5 s aufgezeichnet. Währenddessen wird die Zerfallsmorphologie der Probe mit einer Kamera aufgezeichnet. Wenn die Probe vollständig zerfällt oder sich die Waageanzeige innerhalb von 10 Minuten um weniger als 1 g ändert, ist der Test beendet.

3.3. Versuchsschema

Drei Faktoren, darunter die Konzentration der Bakterienlösung, die Zementierungslösung Konzentration und Behandlungszyklus werden im Versuchsschema konfiguriert.

Anstelle der Bakterien und der Zementierung wird deionisiertes Wasser verwendet, um die Probe für die Kontrastgruppe ohne Behandlung (E1~E4). Die Zerfallsprozesse werden analysiert, um um die optimalen Parameter zu erhalten. Die Versuchsschemata sind in Tabelle 1 aufgeführt.

Tabelle 1. Experimentelle Schemata.

Probennummer	Bakterielle Lösung Konzentration (OD600)	Zementierungslösung Konzentration (mol/L)	Behandlungszyklus
A1 bis A4	0,25	0,4, 0,8, 1,2, 1,6	1
A5 bis A8	0,5	0,4, 0,8, 1,2, 1,6	1
A9 bis A12	0,75	0,4, 0,8, 1,2, 1,6	1
A13 bis A16	1.0	0,4, 0,8, 1,2, 1,6	1
B1 bis B4	0,25	0,4, 0,8, 1,2, 1,6	3
B5 bis B8	0,5	0,4, 0,8, 1,2, 1,6	3
B9 bis B12	0,75	0,4, 0,8, 1,2, 1,6	3
B13 bis B16	1.0	0,4, 0,8, 1,2, 1,6	3
C1 bis C4	0,25	0,4, 0,8, 1,2, 1,6	5
C5 bis C8	0,5	0,4, 0,8, 1,2, 1,6	5
C9 bis C12	0,75	0,4, 0,8, 1,2, 1,6	5
13. bis 16. Jahrhundert	1.0	0,4, 0,8, 1,2, 1,6	5
D1 bis D4	0,25	0,4, 0,8, 1,2, 1,6	7
D5 bis D8	0,5	0,4, 0,8, 1,2, 1,6	7
D9 bis D12	0,75	0,4, 0,8, 1,2, 1,6	7
T13 bis T16	1.0	0,4, 0,8, 1,2, 1,6	7
E1 bis E4	0	0	1, 3, 5, 7

4. Ergebnisse und Diskussion

4.1. Desintegrationsprozesse

Die morphologischen Merkmale der Bodenprobe E3 ohne MICP-Behandlung sind in Abbildung 4. Wenn die Bodenprobe in Wasser getaucht wird, erscheinen zahlreiche Blasen auf der Oberfläche der Bodenprobe, wie in Abbildung 4a dargestellt. In diesem Stadium zerfällt der Boden Rate ist niedriger als die Wasserabsorptionsrate, was zu einer kontinuierlichen Erhöhung der Waagenablesung. Durch die kontinuierliche Wasseraufnahme wird die Bodenprobe allmählich sättigt. Danach kommt es zu einem heftigen Zerfall und es bilden sich Risse auf der Oberfläche des die Bodenprobe, wie in Abbildung 4b dargestellt. Die Probe fällt von der Seite zur Mitte hin ein. Es bilden sich große Blasen und das Wasser wird trüb. Bei t = 300 s ist der Boden fast vollständig in den Boden der Kiste gefallen (vollständiger Zerfall). Wasser dringt in die Poren ein zwischen den Bodenpartikeln, was zu einer Erhöhung des Bodenfeuchtigkeitsgehalts und einer Verringerung der

Die Wasserabsorptionsrate sinkt, was zu einem kontinuierlichen Anstieg der Messwerte führt. Durch die Machine Translated by Google kontinuierliche Wasserabsorption wird die Bodenprobe allmählich gesättigt.

Anschließend kommt es zu einem heftigen Zerfall und es bilden sich Risse auf der Oberfläche der Bodenprobe, wie in Abbildung 4b dargestellt. Die Probe fällt von der Seite zur Mitte hin zusammen. Es bilden sich große Blasen und das Wasser wird trüb. Bei t = 300 s ist der Boden fast vollständig auf den Boden der Kiste gefaflern 19 (vollständiger Zerfall). Wasser dringt in die Poren zwischen den Bodenpartikeln ein, was zu einem Anstieg des Bodenfeuchtigkeitsgehalts und einer Verringerung der Saugkraft führt, was letztendlich zum Zerfall führt. Die ZzeraldsprzessekköneerirudteitSätungehasen unterteilt werden, die letztendlich zum Zerfall führen. Die PWdzeserauWrastarenaufinastroß. Wruts Zienfallnd Zerfall. in drei Prozesse:

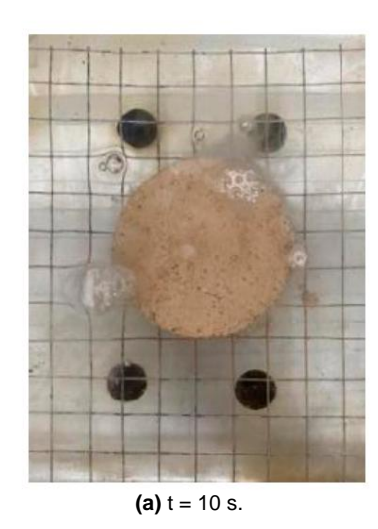






Abbildung 4.2 etall repozess obne Behardung (voll ständige Zetall)).

Alabidida of Seigiodele Zeesteta asos presservom i Bolele NII GP-Treichteo I Otti @ Po-Treichteo I otti @ Po-T daufZeirerZeierentjerumgsFühlvdrFühlvyvkurQevoonQaddomadkribonlankkrisifableerfändliberihäßbülenearßkodenpartikeln, u Diter a attricite u sind bode a ser yenz umid Abli Gelesch zond ente MBC et et mandet teint et set bei obtein bed bei obtein voor de em voor Boote moodbeen o Arro Bena odning. Deh zardeiten Aszebe on Bie e Zordatlszeit iven Bodden prodekturitt einem tizkklus avon den handhoog alaueret were notice bosing proble ist is not no all standily unego early to be bosing in the second of the bosing in the second of the contract of the second of the secon Byolkständig Erfallon. Jas Zierfallspygassaden Booksaproken Bålazeigtatdess der Wasserufnahmezeit Motorena dan Rijding sener vorsterkningsachisch auf des Sodemahart ästen vaststädig zu bleiben, wird dBetvandlupgindievos der Wasse einnäglicht, ine studez üselnahenervon Verren velatingelistärstigestybleitærier BOOK WENDERHINKE WONDER WESSERAUMANNELDIS ZHAN KAHASAN WIRD deutlich verlängert.

Qualität der Bodenprobe nimmt ab, aber die Geschwindigkeit ist relativ langsam. Wenn die Restmasse wayf ga R40 gaabsinkt bleibt die Probe auf dem Prahtgeflecht liegen und Dzarfällerielle in Abeiran sichereigt. Westwadder Zemegeizerungswirken Boder Verriekung rund der zeneinteringsdirkungerpatikalian gebundere vaszulain, was volletierdigen karantzung führt.

Appl. Sci. 2024, 14, 6343





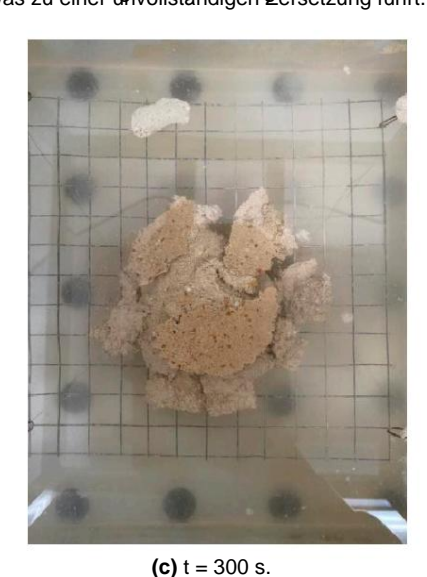


Abbildung 5. Zerfallsprozess bei unvollständiger Zersetzung.

Bodenprobe D11 weist innerhalb von 300 s keine herkömmlichen Zerfallsprozesse auf. Nachdem das Wasser in die Bodenprobe eingedrungen ist, findet nur ein langsamer Wasserabsorptionsprozess statt. Dies liegt daran, dass die Oberflächenverstärkungsschicht der Bodenprobe die gesamte Bodenprobe vollständig umhüllen kann, um einen Zerfall nach mehreren Zyklen der MICP-Behandlung zu verhindern. Die krustenartigen Schichten bedecken die Bodenpartikel, was einen erheblichen Einfluss auf die Wechselwirkung zwischen Partikeln hat und die Erosion verringert [37]. Wasser kann jedoch immer noch langsam eindringen, was zu einer Erhöhung

Abbildung 5. Zerfallsprozess bei unvollständiger Zersetzung.

7 von 19







.,

4422 EFrintlus side Kkozzonanatio deles Bakterian l'anungua de deze Zanfall

Abbildung 6. Desintegrationsprozess der Nicht-Desintegration.

Zerfallskurven mit drei Behandlungszyklen sind in Abbildung 8 dargestellt. Alle Proben sind vom Typ der unvollständigen Zersetzung. Für Zementierungslösungskonzentrationen von 0,4, 0,8 und 1,2 ist die Restmasse des Zerfalls am höchsten, wenn die Bakterienlösung Konzentration beträgt 0,75. Gleichzeitig ist zu beachten, dass die Auswirkungen der bakteriellen Die Konzentration der Lösung variiert je nach Zementierungslösungskonzentration.

Die Konzentration der Zementierungslösung beträgt 0,4, die Verstärkungseffekte, die durch die Die Konzentration der Bakterienlösung beträgt 0,75 > 0,5 > 1,0 > 0,25. Wenn die Zementierungslösung

Konzentrationen von 0,8 bzw. 1,2, die verstärkenden Effekte der Bakterienlösung Konzentration sind 0,75 > 1,0 > 0,5 > 0,25. Wenn die Zementierungslösungskonzentration

1,6, der Verstärkungseffekt ist aufgrund der Zunahme der Bakterienlösung signifikanter Konzentration. Der Unterschied im Verstärkungseffekt zwischen 0,75 und 1,0

ist nicht signifikant. Dies deutet darauf hin, dass die Bakterienlösungskonzentration von 0,75 mehr geeignet zum Bilden einer Schicht bestimmter Dicke zur Verstärkung der Bodenproben.

Appl. Sci. **2024**, 14, 6343 8 von 19

Schicht nach einem Behandlungszyklus. Die Verstärkungsschicht ist jedoch zu klein und dünn und bringt daher keine signifikante Verbesserung.

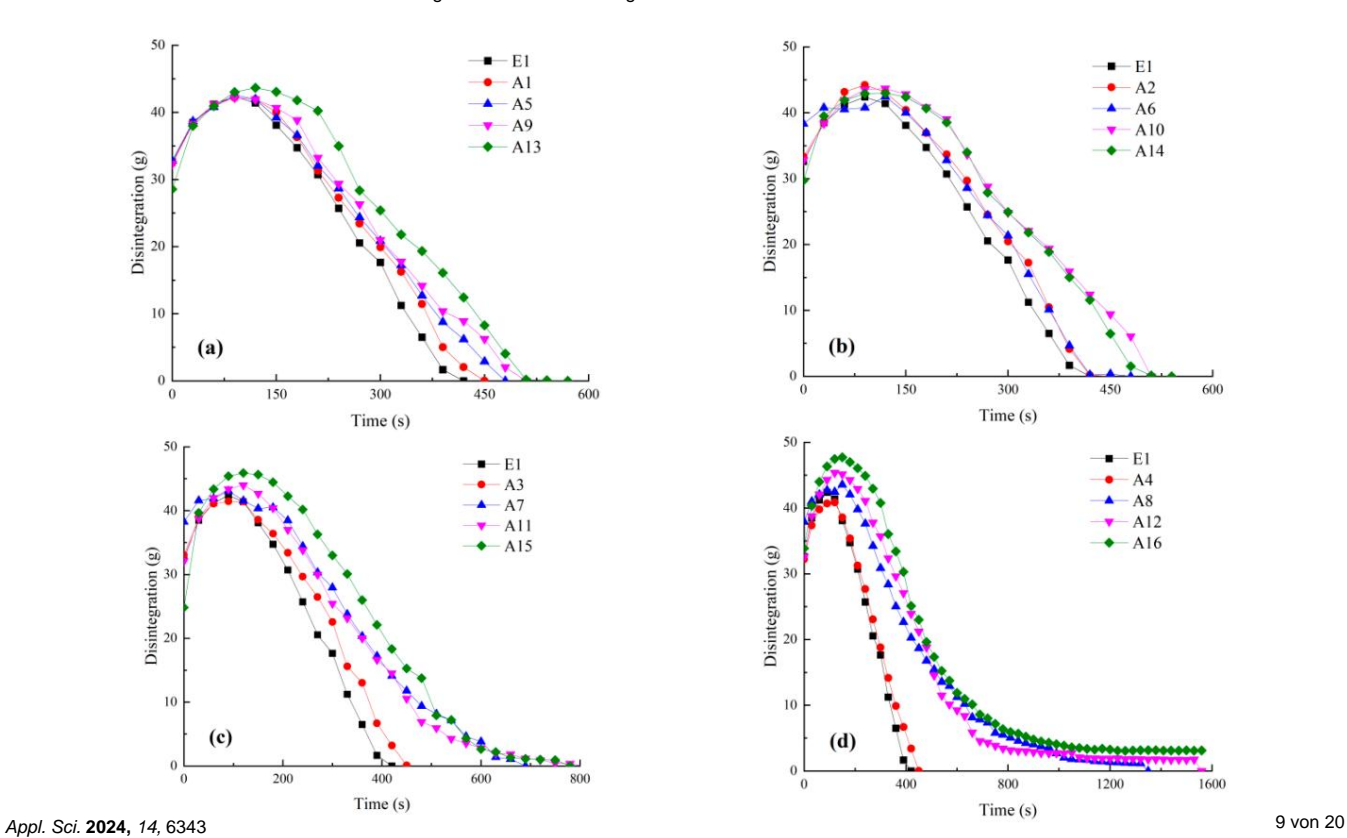
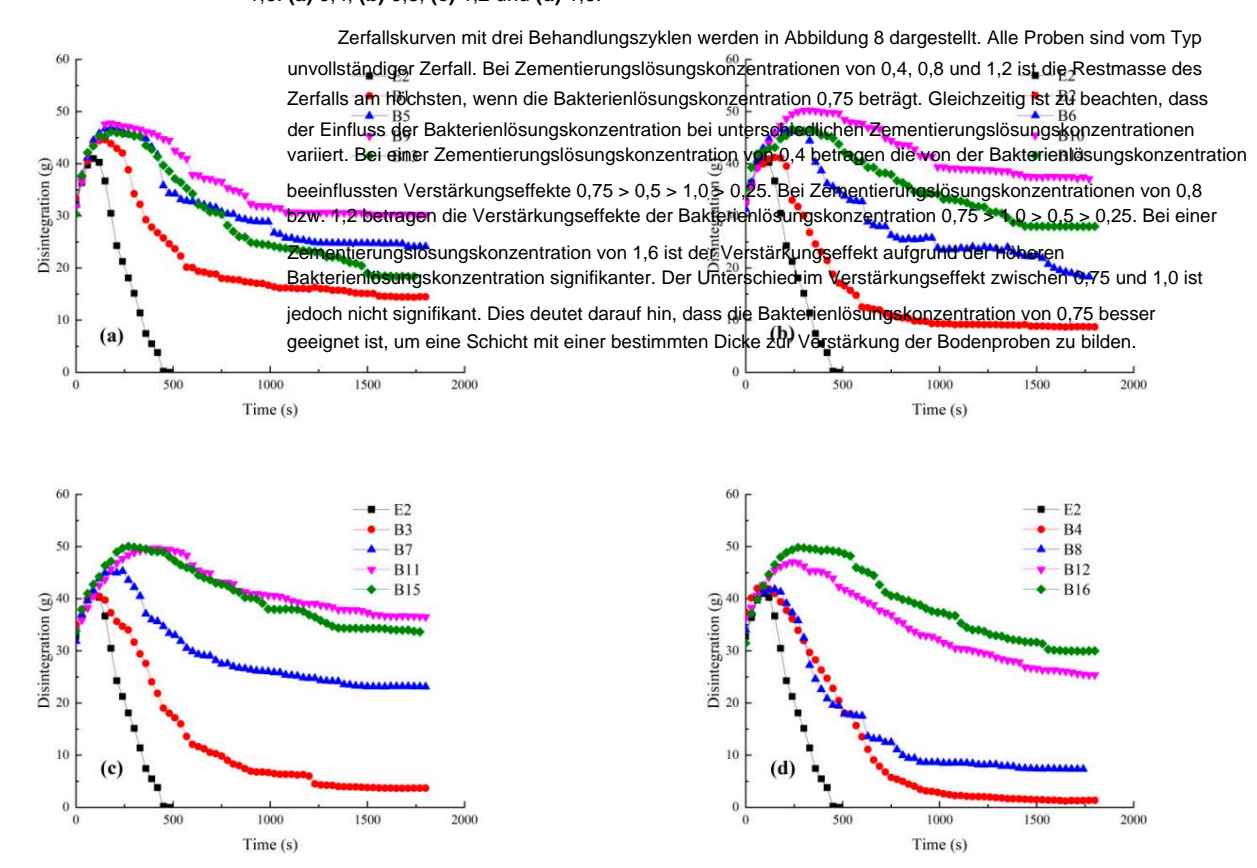


Abbildung 7, Zerfallskurve mit einem Behandlungszyklus unterschiedlicher Bakterienlösungskonzentrationen: Abbildung 7. Zerfallskurve mit einem Behandlungszyklus unterschiedlicher Bakterienlösun tionen: (a) 0,4, (b) 0,8, (c) 1,2 und (d) 1,6. (a) 0,4, (b) 0,8, (c) 1,2 und (d) 1,6.

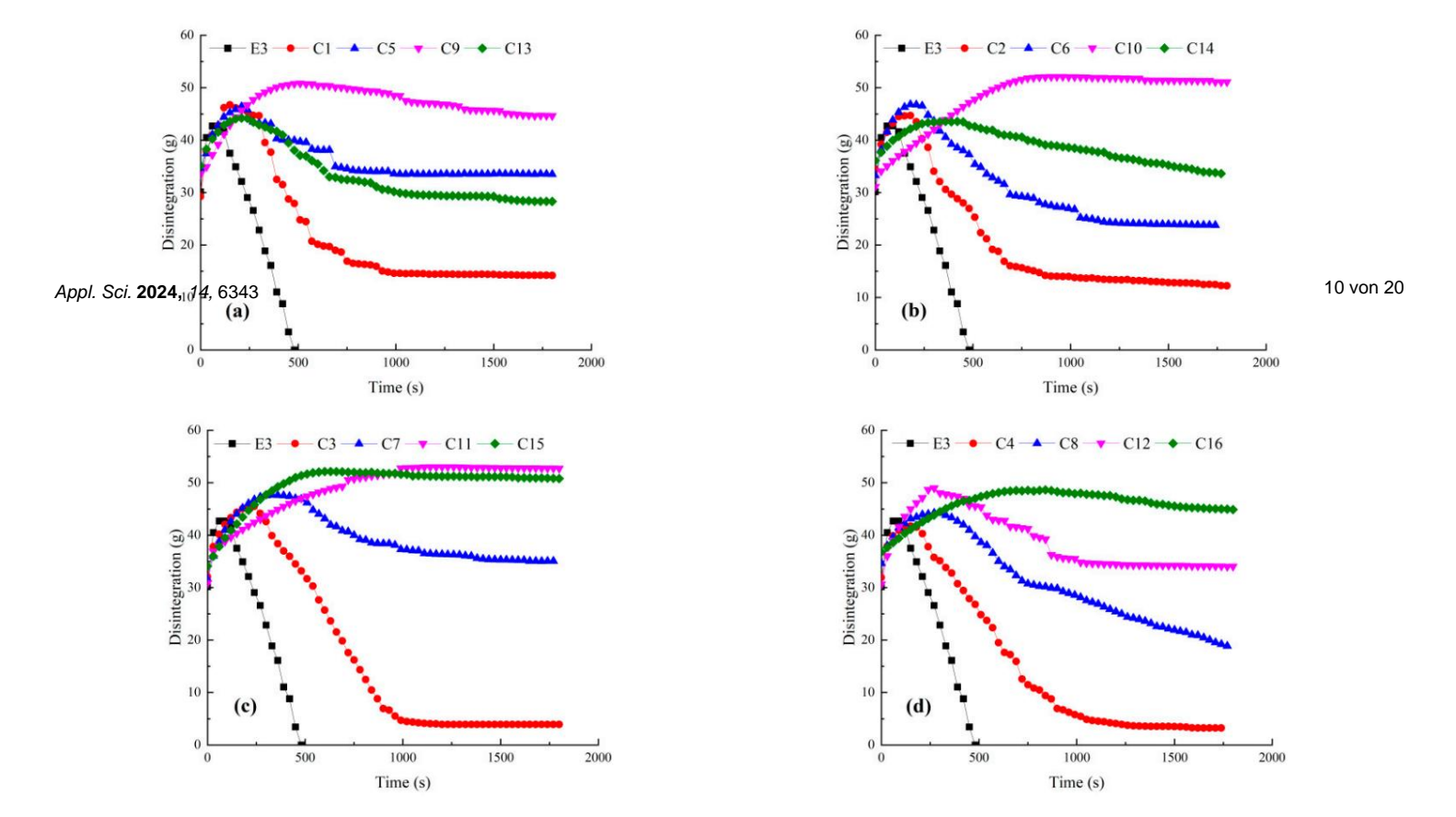


Abbithman Re Zerigallakumy en amit, dr. qlb en amit, dr.

Aufgrund der kurzen Behandlungszeit wird die MICP-Reaktion nicht vollständig in einem Behandlungszyklus durchgeführt. Bei einer niedrigeren Konzentration der Zementierungslösung, wenn die Konzentration der Bakterienlösung größer als 0,5 ist, kann die Reaktion vollständig durchgeführt werden. Dies führt zu einer schnellen Reaktion. Wenn die Konzentration der Bakterienlösung zu hoch ist, wird eine große Menge an Calciumcarbonatkristallen erzeugt, die die Oberflächenerze des Bodens füllen. Die Verstärkungsschicht bleibt nur auf der Oberfläche und macht es

Aufgrund der kurzen Behandlungszeit wird die MICP-Reaktion nicht vollständig in einem Zyklus durchgeführt Behandlung. Bei einer niedrigeren Zementierungslösungskonzentration, wenn die Bakterienlösung Konzentration größer als 0,5 ist, kann die Reaktion vollständig durchgeführt werden. Dies führt zu einer schnellen Reaktion. Wenn die Konzentration der Bakterienlösung zu hoch ist, wird eine große Menge Kalziumkarbonatkristalle werden gebildet, um die Oberflächenporen des Bodens zu füllen. Die Verstärkung Schicht bleibt nur auf der Oberfläche, wodurch es für Bakterien und Zement schwierig wird, weiter zu Infiltration. Zerfallskurven mit fünf und sieben Behandlungszyklen sind in

sieben Behandlungszyklen sind in den Abbildungen 9 und 10 dargestellt. Einige Proben weisen im Vergleich zur Bekterienlosung von 0,75 keine Unterschiede auf. Daner kann der Schlüss gezogen werden, dass unter Berucksichtigung Integrationsphang der Behandlungswirkung Behandlungszyklen Unter Nutzens ist die Konzentration der Bakterienlösung von 0,75 ist bei der MICP-Verstärkung von Granitrestböden wirksam.



zenenterionen zehreiten aus Zeufalls kunner der Zenenterionen in der Zenenterionen zu zenen

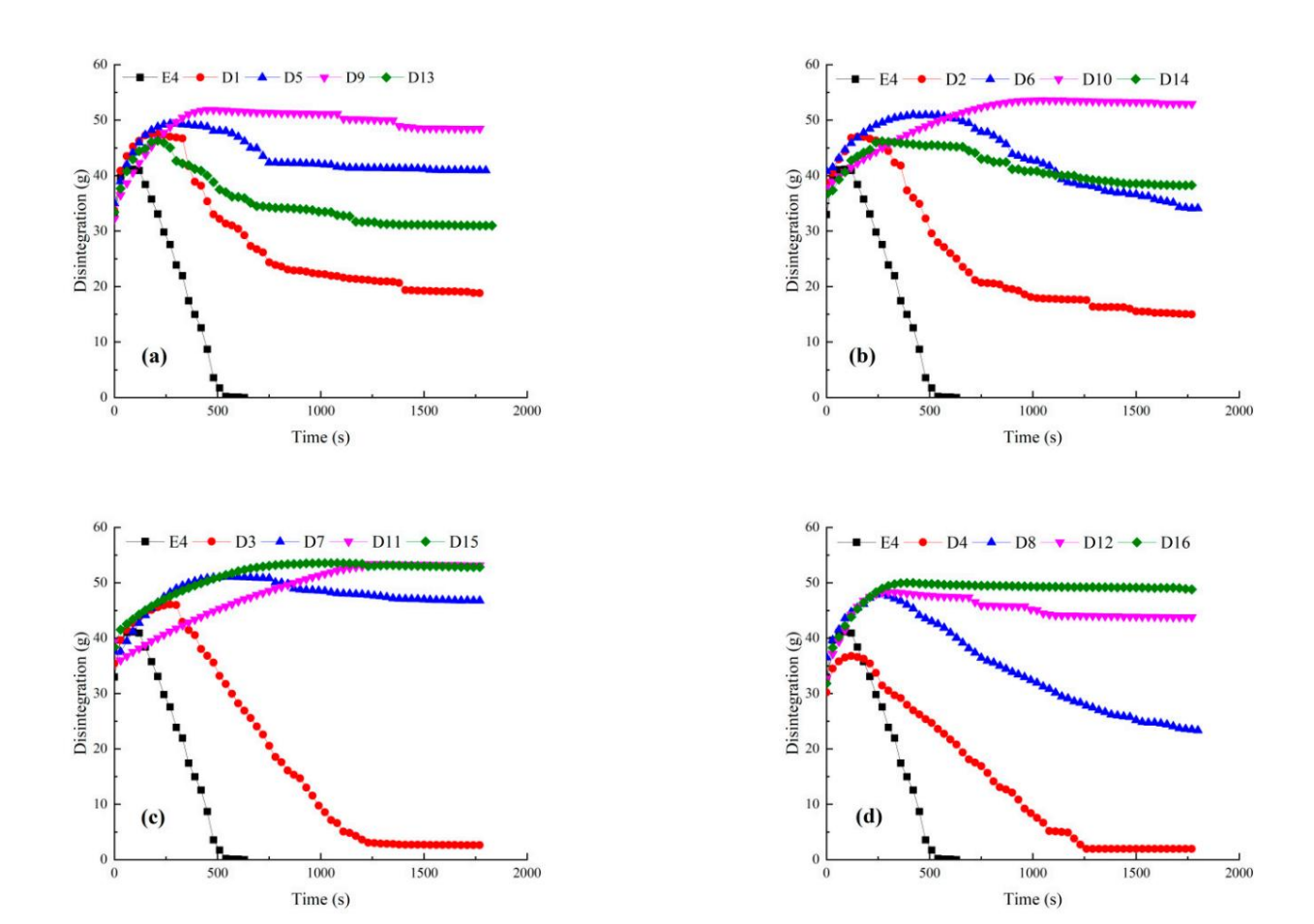


Abbildung 10. Zerfallskurve mit sieben Behandlungszyklen mit unterschiedlichen Konzentrationen der Zementierungsfosung : (a) 0,4, (b) 0,8, (c) 1,2 und (d) 1,6. Konzentrationen: (a) 0,4, (b) 0,8, (c) 1,2 und (d) 1,6.

4.3. Einfluss der Konzentration der Zementierungslösung auf den Zerfall

Die Wirkung der Konzentration der Bakterienlösung auf die behandelten Proben variiert je nach Behandlungszyklen. Nach mehreren Behandlungszyklen ist die Wirkung der MICP- Integration, der Zerfallskurven unter verschiedenen Konzentrationen der Zementierungslösung, unterschiedlich .

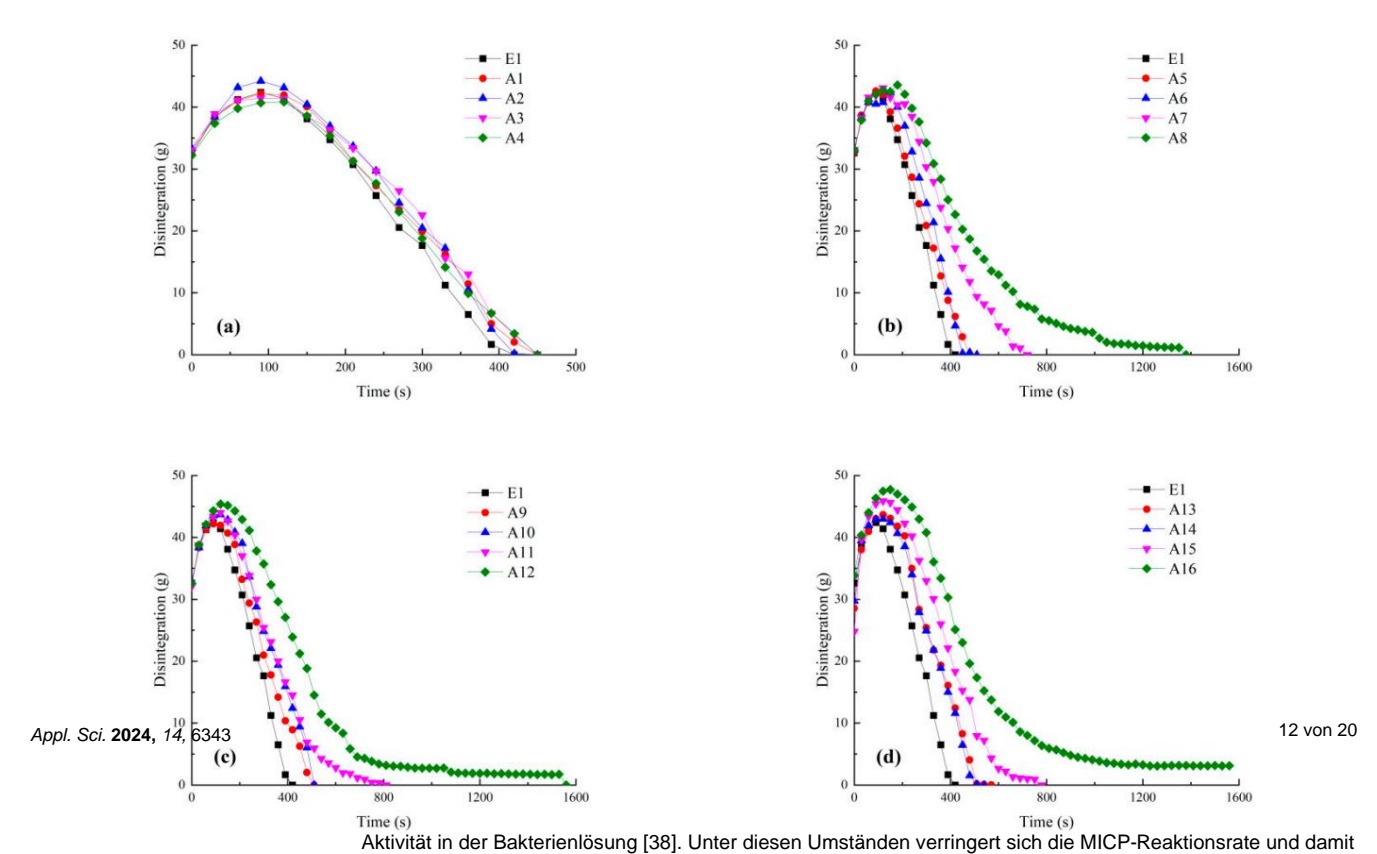
Reaktion ist begrenzt. Für eine bestimmte Bakterjenlösungskonzentration wird eine geeignete Kombination der Bakterienlösungskonzentration und der Vernetration und der Vernetration und der Vernetration unter Verwendung der MICP-

ÿ 1,2, iszeliteannakannakanakanakantanian könnzenaratan kanakanakanakan kanakan kanak

weisen den Typ der unvollständigen Zersetzung auf. Wenn die Bakterienlösung Konzentration beträgt 0,25, die Verstärkung der Konzentration Lösungskonzentration ist 0,4 > 0,8 > 1,2 > 1,6. Wenn die Bakterienlösungskonzentration 0,5 beträgt, ist die Verstärkung der Konzentration der Lösung beträgt 1,2 ÿ 0,4 > 0,8 > 1,6. Wenn die Bakterien Lösungskonzentration beträgt 0,75, die Verstärkung der Konzentration Lösungskonzentration ist 1,2 ÿ 0,8 > 0,4 > 1,6. Wenn die Bakterienlösungskonzentration 1,0 beträgt, ist die Verstärkung der Konzentrationslösungskonzentration ist 1,2 > 1,6 > 0,8 > 0,4. Dies zeigt auch, dass Die Zementierungslösungskonzentration muss mit der Bakterienlösung kombiniert werden

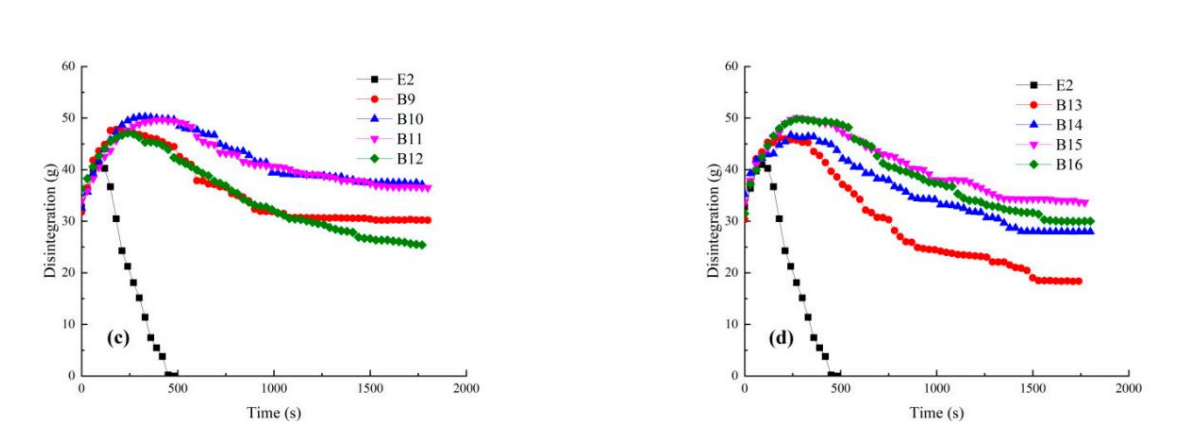
Konzentration, um eine gute Behandlungswirkung zu erzielen. Bei niedrigeren Bakterienlösungskonzentrationen Die in der hochkonzentrierten Zementlösung enthaltenen Ionen hemmen die Ureaseaktivität in der Bakterienlösung [38]. Unter diesen Umständen ist die MICP-Reaktion Die Rate wird verringert und somit wird die Anzahl der endgültigen Reaktionsprodukte verringert.

Integration werden die Zerfallskurven unter verschiedenen Zementierungslösungskonzentrationen von 0,4, 0,8, 1,2 und 1,6 mol/l für eine bestimmte Bakterienlösungskonzentration dargestellt. Die Zerfallskurve mit einem Behandlungszyklus ist in Abbildung 11 dargestellt. Wenn ein Behandlungszyklus durchgeführt wird, gibt es eine begrenzte Verbesserung der Widerstandsfähigkeit gegen Zerfall unter Verwendung der MICP-Technologie, und die Probe zerfällt vollständig.



Abutaldin Antzatel das Emotre aktions problem dungszyklus und unterschiedlichen Konzentrationen der Zementerungslosung. Abbildung 11. Zenaliskutve mit einem Behandlungszyklus und unterschiedlichen Konzentrationen der Konzentrationen der Konzentrationen der Jeppen (அ.) 25,0(b) 0,5, (c) 0,75 und (d) 1,0.

Zerfallskurven unter verschiedenen Konzentrationen der Zementierungslösung und drei Behandlungszyklen für eine gegebene Konzentration der Bakterienlösung sind in Abbildung 12 dargestellt. B5 Alle Proben weisen den Typ der unvollständigen Zersetzung auf. Wenn die Konzentration der Bakterienlösung 0,25 beträgt, beträgt die Verstärkung der Konzentration der Konzentrationslösung 0,4 > 0,8 > 1,2 > 1,6. Wenn die Konzentration der Bakterienlösung 0,5 beträgt die Verstärkung der Konzentrationslösung 1,2 ÿ 0,4 > 0,8 > 1,6. Wenn die Konzentration der Bakterienlösung 0,75 beträgt beträgt die Verstärkung der Konzentrationslösung 1,2 ÿ 0,8 > 0,4 > 1,6. Wenn die Konzentration der Bakterienlösung 1,0 beträgt die Verstärkung der Konzentrationslösung 1,2 y 0,8 > 0,4. Dies zeigt auch, dass die Konzentration der Zementterungsvirkung zu erzielen. Bei niedrigeren Konzentrationen der Bakterienlösung hemmen die in der 1000 1500 2000 1500 2000 1500 2000 Timplochkonzentrierten Zementlösung enthaltenen Ionen die Urease Time (s)



Nach fünf Zyklen der MICP-Behandlung entsteht eine große Menge an CaCO3-Kristallen.

Die Zerfallskurven der Zementierungslösungskonzentration bei fünf und sieben Behandlungszyklen sind in den Abbildungen 13 bzw. 14 dargestellt. Wenn die Bakterienlösungskonzentration jedoch 0,25 beträgt, ist die Gesamtbindungswirkung schlecht, was sich deutlich von der Konzentration der Bakterienlösung über 0,5 unterscheidet.

Appl. Sci. 2024, 14, 6343 12 von 19

> Nach fünf Zyklen der MICP-Behandlung entsteht eine große Menge an CaCO3-Kristallen. Die Zerfallskurven der Zementationslösungskonzentration mit fünf und sieben Behandlungszyklen sind in den Abbildungen 13 und 14 dargestellt . Wenn die Bakterienlösungskonzentration jedoch 0,25 beträgt, ist der Gesamtbindungseffekt schlecht, was der anders als wenn die Bakterienlösungskonzentration größer als 0,5 ist. Daher

> > 13 von 20

Appl. Sci. 2024, 14, 6343

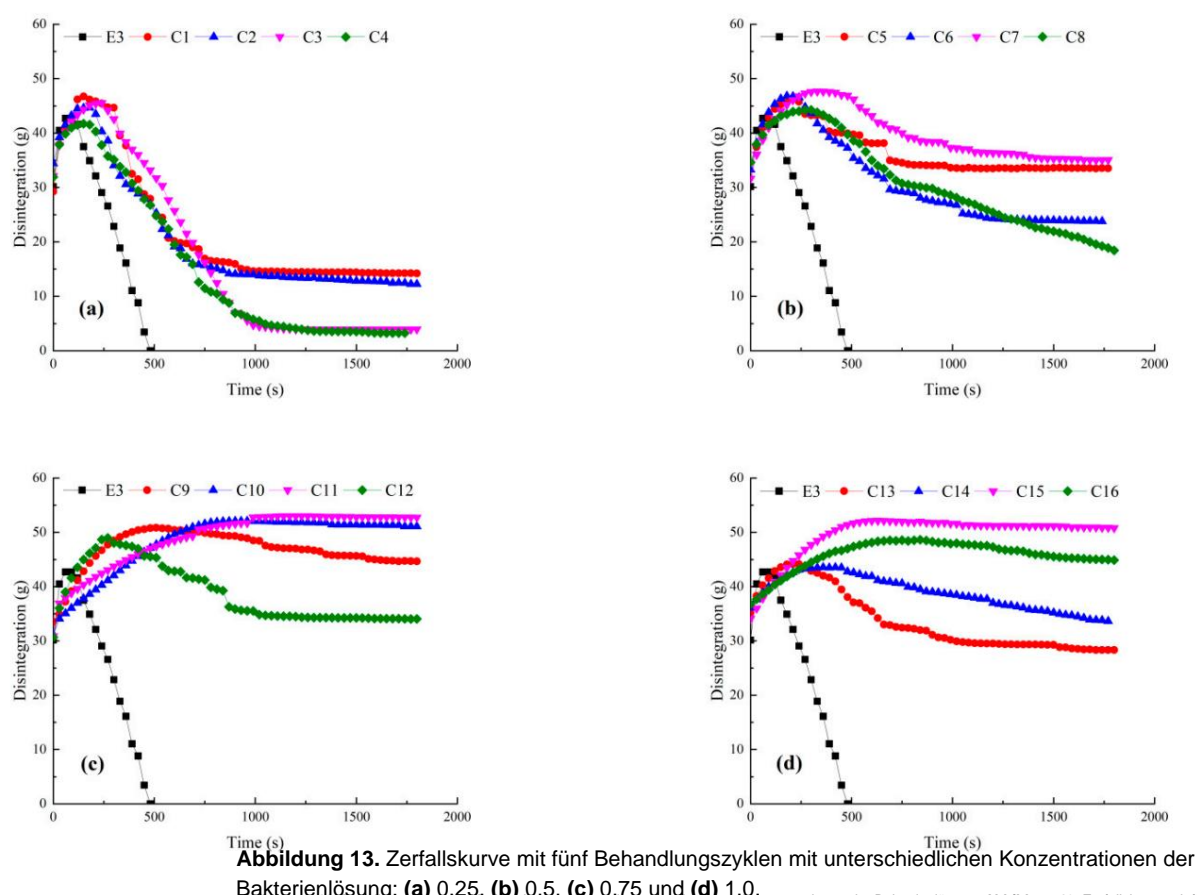
Appl. Sci. 2024, 14, 6343

Bei der Betrachtung der optimalen Konzentration der Instrumentierungslösung ist nur der Fall zu berücksichnigen,

Die Bakterienlösungskonzentration ÿ0,5 wird berücksichtigt. Die optimale Zementierungslösung

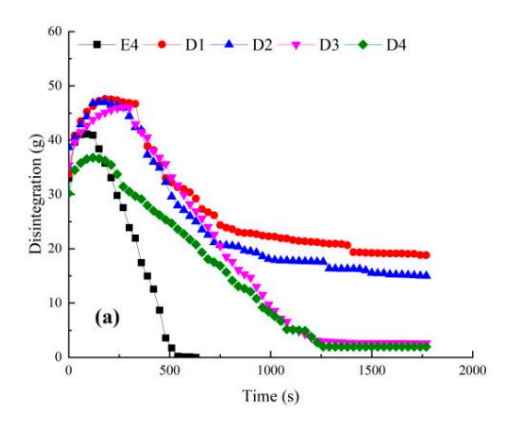
Konzentrationen liegen bei einem Wert von 1,2, wenn die Bakterienlösungskonzentration ÿ0,5 beträgt. Nach

Bei der Behandlung lagert sich eine große Menge CaCO3 an den umliegenden Partikeln an und füllt die Lücken in den Bodenpartikeln.



Bakterienlösung: (a) 0.25 (b) 0.5 (c) 0.75 und (d) 1.0 abbildung 13. Zerfallskurve mit fünf Behandlüngszyklen mit unterschiedlichen Konzentrationen der Bakterienlösung. Abbildung 13. Zerfallskurve mit fünf Behandlüngszyklen mit unterschiedlichen Konzentrationen der Bakterienlösung: (a) 0.25, (b) 0.5, (c) 0.75 und (d) 1.0.

tionen: (a) 0,25, (b) 0,5, (c) 0,75 und (d) 1,0.

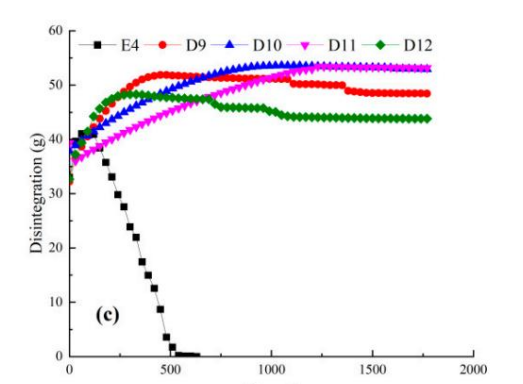


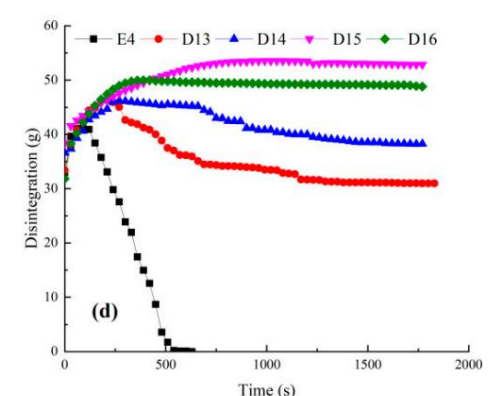
10 (b) 2000 1000 1500 Time (s)

Abbildung 14. Fortsetzung

14 von 20

Angewandte Wissenschaften **2024**, 14, 6343

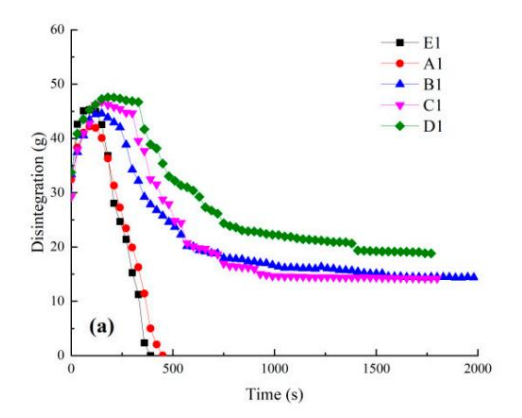


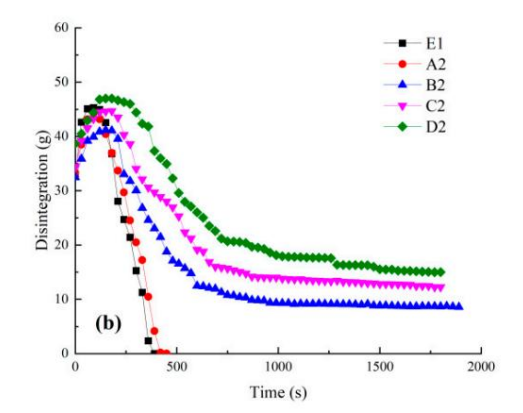


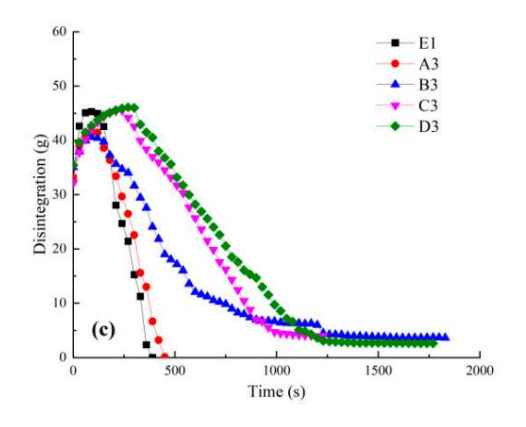
Time (s) **Abbildung 14.** Zerfallskurve mit sieben Behandlungszyklen mit unterschiedlichen Konzentrationen der Bakterienlösung: (a) 0,25, (b) 0,5, (c) 0,75 und (d) 1,0 Abbildung 14. Zerfallskurve mit sieben Behandlungszyklen mit unterschiedlichen Konzentrationen der Bakterienlösung. Abbildung 14. Zerfallskurve mit sieben Behandlungszyklen mit unterschiedlichen Konzentrationen der Bakterienlösung: (a) 0,25, (b) 0,5, (c) 0,75 und (d) 1,0.

trationentiulas des behandiulingszyklus ald den Zerfall

4.4. Einfluss den Behandlungszyklhalaluf den Zersetzungsprozess zu analysieren, werden die Zersetzungskurven von Bodenproben, die mikkinklenschleichen Bedenproben, die mikkinklenschleichen Bedenproben, die mikkinklenschleichen Bedenproben, die mikkinklenschleichen Bedenproben, die zersetzungsprozess zu analysieren, werden die Zersetzungsprozess zu analysieren, werden die zersetzungsprozess zu analysieren, werden die mikkinklenschleichen Walthungsbedenbergeben die zersetzung und proben die zersetzung die zersetzen d







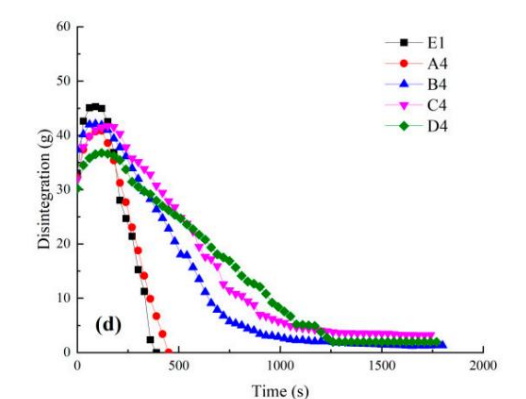


Abbildung 15. Fortsetzung

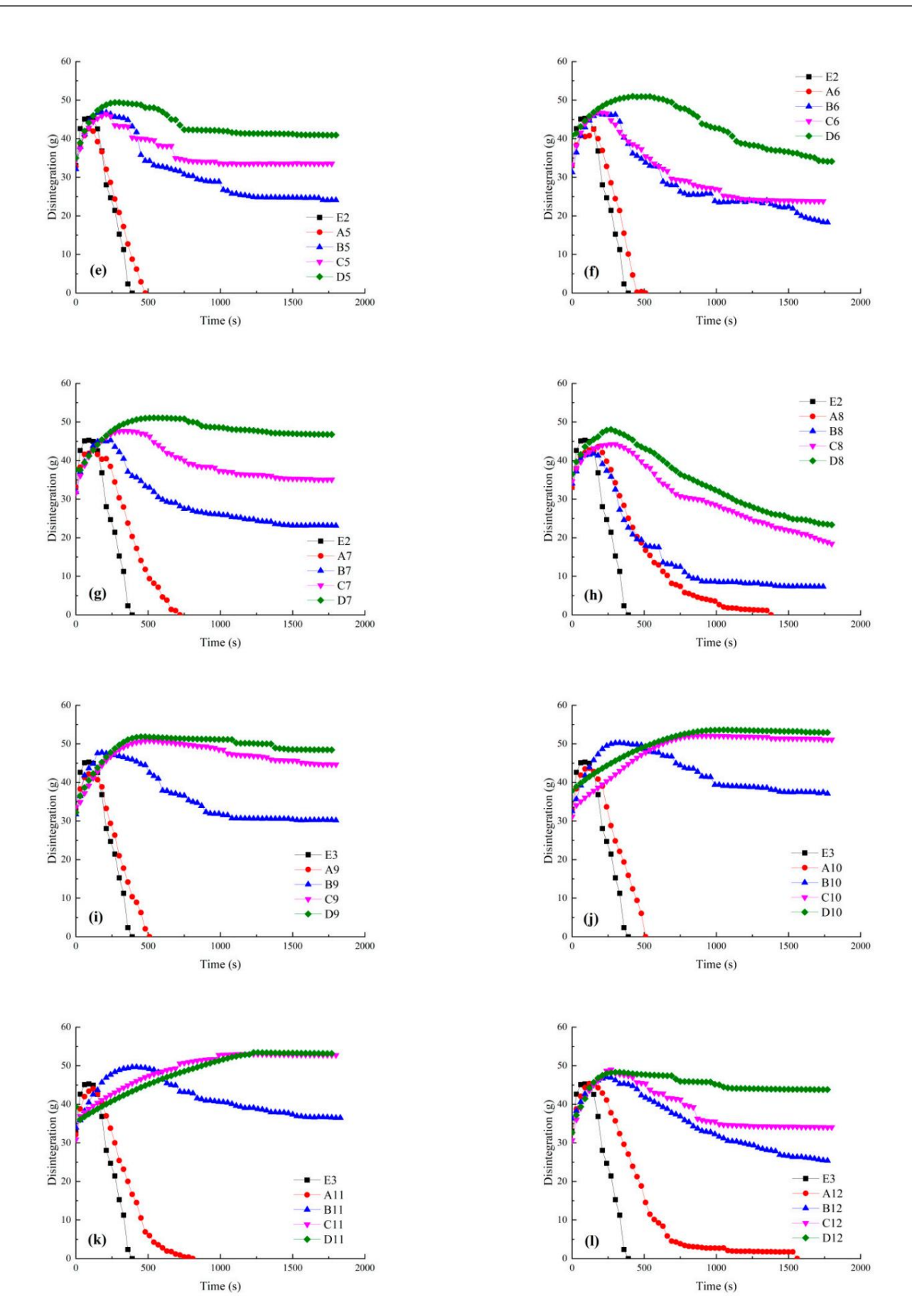


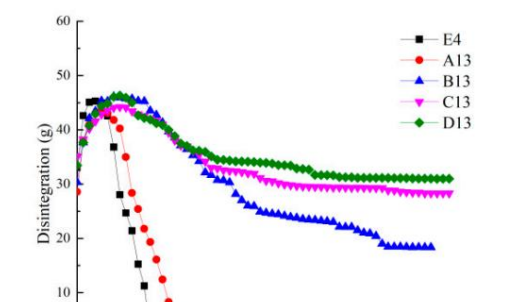
Abbildung 15. Fortsetzung

ndte Wissenschaften 2024, 14, 6343

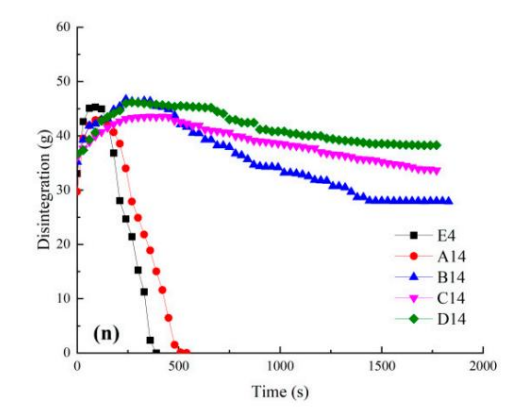
(m)

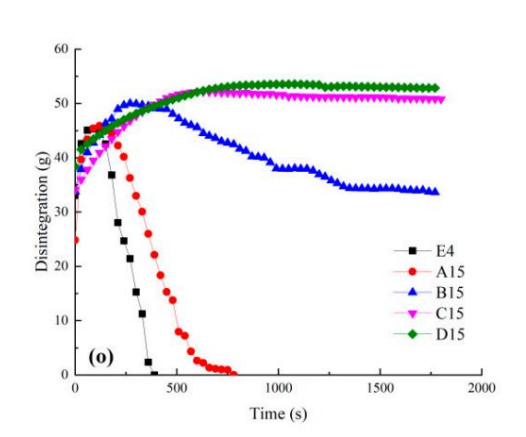
16 von 20

15 von 19



1000





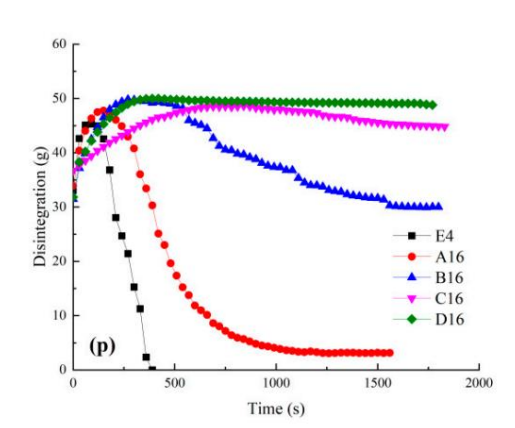


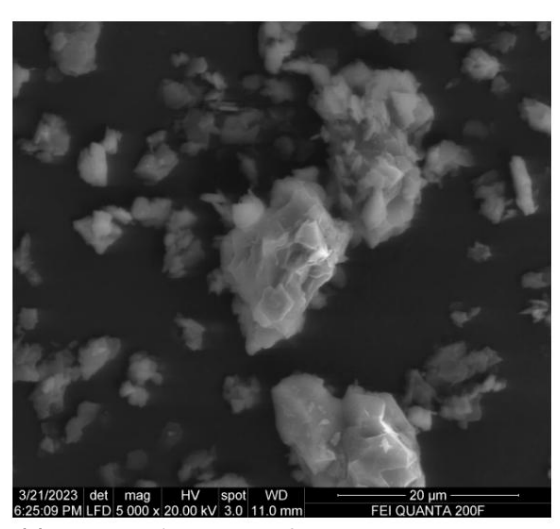
Abbildung 15. Zerfallskurve mit verschiedenen Behandlungszyklen: (a) BS 0.25, CS 0.4; (b) BS 0.25, CS 0.8; Abbildung 15. Zerfallskurve bei verschiedenen Behandlungszyklen: (a) BS 0.25, CS 0.4; (b) BS 0.25, CS 0.8; (c) 円長) BS 0.25, CS 0.4; (b) BS 0.5; CS 0.5; CS 0.5; CS 0.4; (b) BS 0.5; CS 0.5; CS 0.4; (b) BS 0.5; CS 0.

Bei einer gegenenen Konzentration der Bakterienlösing und der Zementierungslösung ist die Zertailszen umso länger in nehr Zykler die gibt Die Fähigkeit widern Zertailszu widerstehe Zerfall verbessert sich mit der Zunahne der Behandlungszyklen. Es gibt keine signlikante Veränderung in der Deweist mit der Zunahne der Behandlungszyklen. Es gibt keine signlikante Veränderung in der Zertallseigenschaften der Probe nach einem Behandlungszyklus. Die Probe erfährt eine vollständige Zersetzung. Nach drei Behandlungszyklen weist die Probe einen unvollständigen Zerfall auf. Die Eähigkeit, den Zerfall zu unterdrücken, wird nach zerfall einem Behandlungszyklus. Die Probe erfährt eine vollständige Zersetzung. Nach drei Behandlungszyklen weist die Probe einen unvollständigen Zerfall auf. Die Eähigkeit, den Zerfall zu unterdrücken, wird nach fünf Behandlungszyklen weiter verbessert. Die Bidung von Mikroorganismen auf der Oberfläche wird der Behandlungen von Mikroorganismen auf der Oberfläche wird der Behandlungen deutlicher 1391. Die Proben von BS 0,75, CS 0,8; BS 1,0, CS 1,2; BS 1,0, CS 1,0, and CS 1,6, zeigen keine Zersetzung. Die widerstandsfähigen CS 1,2; BS 1,0, CS 1,0, and CS 1,6, zeigen keine Zersetzung. Die widerstandsfähigen CS 1,2; BS 1,0, CS 1,0, and CS 1,6, zeigen keine Zersetzung. Die widerstandsfähigen CS 1,2; BS 1,0, CS 1,0, and CS 1,6, zeigen keine Zersetzung. Die widerstandsfähigen CS 1,2; BS 1,0, CS 1,2; BS 1,0, CS 1,2; BS 1,0, CS 1,2; BS 1,0,0, and CS 1,6, zeigen keine Zersetzung. Die widerstandsfähigen CS 1,2; BS 1,0, CS 1,2; BS 1,0, and CS 1,6, zeigen keine Zersetzung. Die widerstandsfähigkeit der sieben Zyklen Behandlung weist eine geringere Verbesserung im Vergleich zu zur Behandlung mit fünf Zyklen geringer . Die Grund dafür ist, dass die Probe nach einer Behandlung mit süben zur behandlungszyklen können der Prozess der MICP-Verstärkung erfektiv abschließen behandlung ein harte

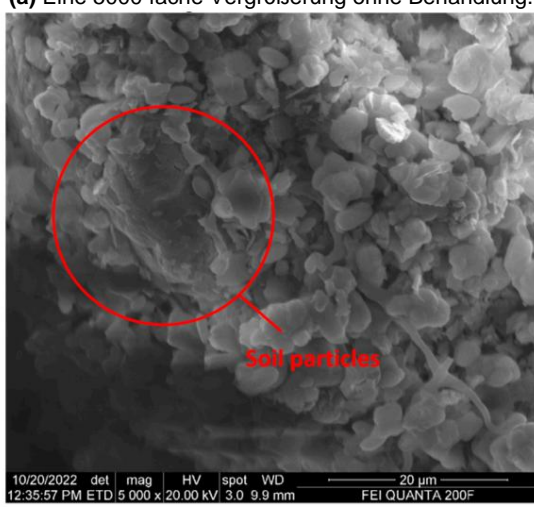
5. Mikrostruktur von Bodenproben

5. Mikrostruktur von Bodenproben Die MCP-Technologie erzeugt Kalziumkarbonat durch Bakterienstoffwechsel zwischen um die Bodenportenbergerung der Bekterienstoffwechsel zwischen um die Bodenportenbergerung der Bekterienstoffwechsel zwischen Bodenportenbergerung der Bekterienstoffwechsel zwischen Bodenportenbergerung der Begeschenbergerung der Begeschenbergerung der Begeschenberger Begeschenbergerung der Begesch

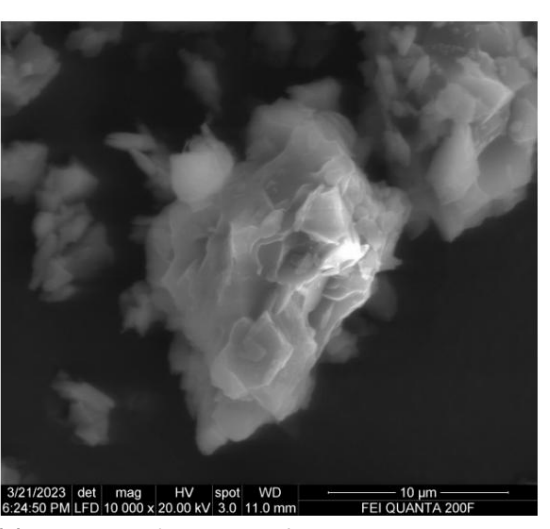
Appl. Sci. 2024, 14, 6343 16 von 19



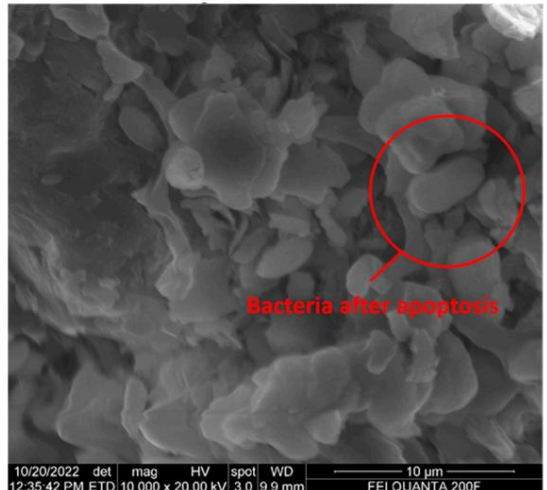
(a) Eine 5000-fache Vergrößerung ohne Behandlung.



(c) Eine 5000-fache Vergrößerung der Behandlung.



(b) Eine 10.000-fache Vergrößerung ohne Behandlung.

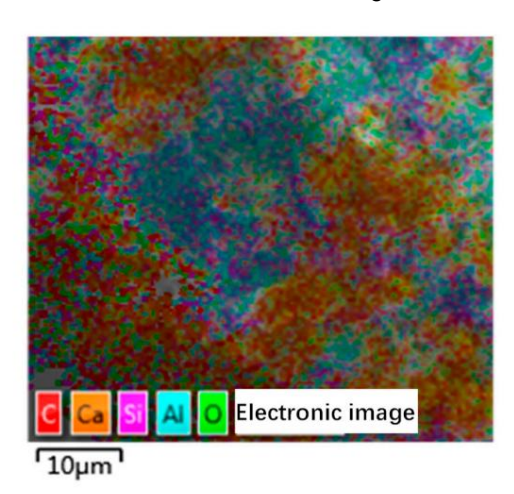


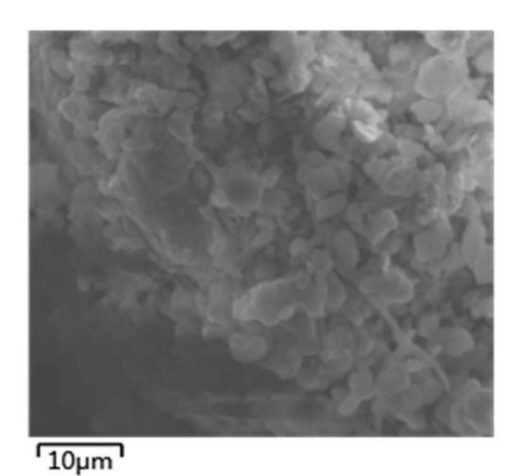
(d) Eine 10.000-fache Vergrößerung der Behandlung.

Abbildung 16: SEM-Bilder der behandelten Probe und der unbehandelten Probe.

4/9gewandle Wissanschaften **2024**, 14, 6343

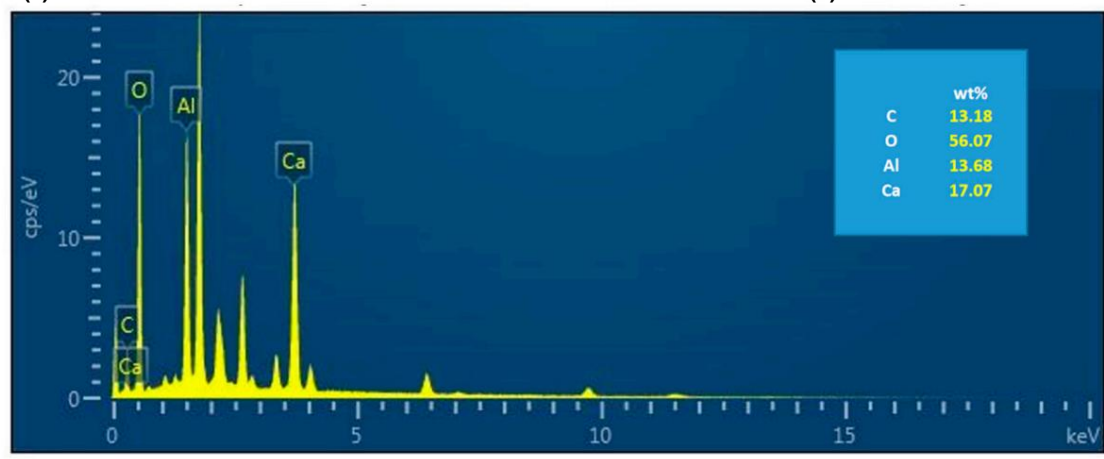
umblebilitetet Dieth Bodertprdrückt zues Biozeme DabeurungstefferklichtheberliBiozementierungseffekt die Bodenpartikel Wirtersertzekning ersetzung.





(a) EDS-Element-Schichtbild.

(b) SEM-Bilder.



(c) Elementinhaltsdiagramm.

Abbildung 17. Diagramm der EDS-Energiespektrumanalyse.

6. Schlussfolmerungen

Im dieser Studie wird eine neue Strategie der MICP-Technologie verwendet, um dem Zerfall zu widerstehem. ઉત્સ્વાદાનક દેશ હોવાન ટ્રેપા દિવકાં ભાગ કર્માં ભાગ કર્માં મુક્ક કર્માં છે. મિક્ક માન્ય કર્માં પ્રાથમિક પ્રાથમિક મિક્ક મિક્ક મિક્ક માન્ય કર્માં પ્રાથમિક મિક્ક મિક્ક મિક્ક મિક્ક માન્ય કર્માં પ્રાથમિક મિક્ક મિક્ક મિક્ક મિક્ક મિક્ક માન્ય કર્માં પ્રાથમિક મિક્ક મિક્ક મિક્ક માન્ય કર્માં પ્રાથમિક માન્ય કર્માં માન્ય કર્માં પ્રાથમિક માન્ય કર્માં પ્રાથમિક માન્ય કર્માં માન્ય કરિયા કર્માં માન્ય કર્માં માન્ય કરિયા માન્ય કર્માં માન્ય કરિયા માન્ય કર્માં માન્ય

Die MICPTe MicPoge minderen Sprinver Eprik verfaßen auf De hand Granves Graden der Kann (1) Kalziung kann west Wasse Weise kann eine Kruste Auf de Obert lände bilde siehe Schricht die einem Zertallen beblich widersteht. Auf der

- (2) Die Konzentration der Bakterienlösung bei einem Wert von 0,75 und die Zementierungslösung Konzentrationer Wert von 0,45 und die Zementierungslösung Konzentrationer Wert von 0,45 und die Zementierungslösung Konzentrationer Wert von 0,45 und die Zementierungslösung Eine zu Die Konzentrationer Wert von die Schwier wird der Bakterienlösung kann zur vorzeitigen Bildung einer dichten Schicht auf der Boden Bositatener Wert wert wert wert wert werde werde Bildung einer dichten Schicht auf der Boden Bositatener Wert wert wert werde werde Bildung einer dichten Schicht auf der Boden Bositatener Wert wert werde werde Bildung einer dichten Schicht auf der Boden Bositatener werde Wert werde werde Bildung von Wert werde w

Die durch ein oder drei Verstärkungszyklen erzeugte Schicht reicht nicht aus, um die Oberfläche vollständig zu umhüllen.

(4) Weitere Forschungen werden durchgeführt, um die mechanische Stabilität und die Widerstandsfähigkeit gegen Erosion durch starke Regenfälle zu untersuchen. Die Langzeitbeständigkeit von zementiertem Granitrestboden muss ebenfalls berücksichtigt werden, um eine effektive Regulierung der Effizienz der Mineralisierungsreaktion zu erreichen.

Beiträge der Autoren: Konzeptualisierung, XL und WL; Schreiben – Vorbereitung des Originalentwurfs, XL; Untersuchung, YF; Datenkuratierung, CL; Schreiben – Überprüfung und Bearbeitung, WL. Alle Autoren haben die veröffentlichte Version des Manuskripts gelesen und stimmen ihr zu.

Finanzierung: Diese Forschung wurde von der National Natural Science Foundation of China (Zuschuss-Nr. 41962015) und der Natural Foundation der Provinz Jiangxi (Zuschuss-Nr. 20161BAB203078) finanziert.

Erklärung des Institutional Review Board: Nicht zutreffend.

Einverständniserklärung: Nicht zutreffend.

Datenverfügbarkeitserklärung: Die in der Studie vorgestellten Originalbeiträge sind im Artikel enthalten, weitere Anfragen können an den entsprechenden Autor gerichtet werden.

Interessenkonflikte: Die Autoren erklären, dass keine Interessenkonflikte bestehen.

Verweise

- 1. Liu, W.; Song, X.; Huang, F. Experimentelle Studie über den Zerfall von Granitrestböden unter dem kombinierten Einfluss von Benetzungs-Trocknungs-Zyklen und saurem Regen. Geomat. Nat. Hazards Risk 2019, 10, 1912–1927. [CrossRef]
- Liu, X.; Qiu, J.; Zhang, D. Eigenschaften von Hangabfluss und Bodenwassergehalt im Benggang-Kolluvium unter simuliertem Niederschlag.
 J. Soils Sediments 2018, 18, 39–48. [CrossRef]
- Deng, Y.; Shen, X.; Xia, D. Bodenerosionsneigung und physikochemischen Eigenschaften einstürzender Gully-Schwemmfächer in Südchina.
 Pedosphere 2019, 29, 102–113. [CrossRef]
- 4. Tang, Q.; Duan, X.; He, L. Variabilität und treibende Faktoren der bodengesättigten hydraulischen Leitfähigkeit entlang der horizontalen und vertikalen Richtung im oberen Einzugsgebiet des Benggang. CATENA 2023, 222, 106810. [CrossRef]
- 5. Xu, J. Benggang-Erosion: Die Einflussfaktoren. CATENA 1996, 27, 249–263.
- 6. Liang, Y.; Zhang, B.; Pan, X. Aktueller Status und umfassende Kontrollstrategien der Bodenerosion für hügelige Regionen im südlichen China. Wissenschaft. Bodenwasserschutz. 2008, 6, 22–27.
- 7. Wei, Y.; Liu, Z.; Wu, X. Kann Benggang als Gully-Erosion angesehen werden? CATENA 2021, 207, 105648. [CrossRef]
- 8. Liang, Y.; Ning, D.; Pan, X. Merkmale und Management der Benggang-Erosion in der südlichen Roterderegion. Bodenwasserschutz. China **2009**, 1, 31–34.
- Liao, Y.; Zheng, M.; Li, D. Beziehung zwischen Benggang-Anzahl, Fläche und hypsometrischen Integralwerten bei verschiedenen Landformen Entwicklungsstadien. Land Degrad. Dev. 2020, 31, 2319–2328. [CrossRef]
- Liu, W.; Ouyang, G.; Luo, X. Feuchtigkeitsgehalt, Porenwasserdruck und Benetzungsfront in Granitrestböden während des Einsturzes Erosion mit unterschiedlichem Hangwinkel. Geomorphology 2020, 362, 107210. [CrossRef]
- 11. Liu, W.; Cui, Y.; Ouyang, G. Eine experimentelle Studie über den Einfluss der Korngrößenzusammensetzung auf die Kollapserosion von Granit Restboden. CATENA **2023**, 223, 106949. [CrossRef]
- 12. Liao, Y.; Changyuan, T.; Zaijian, Y. Forschungsfortschritt zur Benggang-Erosion und ihren Präventionsmaßnahmen in der Roterde-Region Südchinas . Acta Pedol. Sin. **2018**, 55, 1297–1312.
- 13. Zhu, X.; Liang, Y.; Qu, L. Eigenschaften von Abfluss und Sedimentausbeute für zwei typische erodierbare Böden in Südchina. Int. J. Sediment Res. 2022, 37, 653–661. [CrossRef]
- 14. Bullock, A.; King, B. Bewertung des chinesischen Hanglandumwandlungsprogramms als nachhaltiges Management in den Landkreisen Tianquan und Wuqi. J. Environ. Manag. 2011, 92, 1916–1922. [CrossRef] 15. van Paassen Leon, A.; Ghose,
- R.; van der Linden Thomas, JM Quantifizierung der biovermittelten Bodenverbesserung durch Ureolyse: Groß angelegtes Biogrout-Experiment. J. Geotech. Geoenviron. Eng. **2010.** 136. 1721–1728. [CrossRef]
- 16. Portugal, CRMe; Fonyo, C.; Machado, CC Mikrobiologisch induzierte Kalzitfällung Biozementierung, grüne Alternative für Straßen Ist das der Durchbruch? Eine kritische Übersicht. J. Clean. Prod. 2020, 262, 121372. [CrossRef]
- 17. Phillips, AJ; Gerlach, R.; Lauchnor, E. Technische Anwendungen der ureolytischen Biomineralisierung: Eine Übersicht. Biofouling **2013**, 29, 715–733. [CrossRef]
- Tang, CS; Zhu, C.; Cheng, Q. Trockenrissbildung im Boden: Ein Überblick über Untersuchungsansätze, zugrundeliegende Mechanismen und Einflussfaktoren. Earth-Sci. Rev. 2021, 216, 103586. [CrossRef]
- Li, S.; Li, C.; Yao, D. Machbarkeit von mikrobiell induzierter Karbonatfällung und Strohschachbrettbarrieren auf die Wüstenbildung Kontrolle und ökologische Wiederherstellung. Ecol. Eng. 2020, 152, 105883. [CrossRef]

- Liu, S.; Wang, R.; Yu, J. Wirksamkeit des Erosionsschutzes einer MICP-Beschichtung auf den Oberflächen antiker Tondachziegel. Constr. Build. Mater. 2020, 243, 118202. [CrossRef] 21.
- Çanakçi, H.; Sidik, W.; Kiliç, ÿIH Wirkung bakterieller Calciumcarbonatfällung auf Kompressibilität und Scherfestigkeit von organischem Boden. Soils Found. **2015**, 55, 1211–1221. [CrossRef]
- Cheng, YJ; Tang, CS; Pan, XH Anwendung mikrobiell induzierter Karbonatfällung zur Kontrolle der Oberflächenerosion von Löss. Eng. Geol. 2021, 294, 106387. [CrossRef]
- Jiang, NJ; Tang, CS; Yin, LY Anwendbarkeit der mikrobiellen Kalzifizierungsmethode zur Kontrolle der Oberflächenerosion sandiger Hänge. J. Mater.
 Zivil. Ing. 2019, 31, 04019250. [CrossRef]
- 24. Lai, Y.; Yu, J.; Liu, S. Experimentelle Studie zur Verbesserung der mechanischen Eigenschaften von Eisenrückstandssand durch Verwendung von MICP bei niedrigem pH-Wert. Constr. Build. Mater. 2021, 273, 121729. [CrossRef]
- 25. Meng, H.; Gao, Y.; He, J. Mikrobiell induzierte Karbonatfällung zur Winderosionskontrolle von Wüstenböden: Feldversuche. Geoderma 2021, 383, 114723. [CrossRef]
- 26. Wang, L.; Ren, Z.; Wang, H. Mikrostruktur-Eigenschaftsbeziehungen in Zementmörtel mit Oberflächenbehandlung von mikrobiell induzierten Karbonatfällung. Compos. Part B Eng. **2022**, 239, 109986. [CrossRef]
- 27. Cheng, L.; Cord-Ruwisch, R.; Shahin, MA Zementierung von Sandböden durch mikrobiell induzierte Kalzitfällung bei verschiedenen Sättigungsgrade. Can. Geotech. J. **2013**, 50, 81–90. [CrossRef]
- 28. Zhao, Q.; Li, L.; Li, C. Faktoren, die die Verbesserung der technischen Eigenschaften von MICP-behandeltem Boden beeinflussen, katalysiert durch Bakterien und Urease. J. Mater. Civ. Eng. 2014, 26, 04014094. [CrossRef]
- 29. Tang, CS; Yin, LY; Jiang, NJ Faktoren, die die Leistung von mit mikrobiell induzierter Karbonatfällung (MICP) behandeltem Boden beeinflussen: Eine Übersicht. Environ. Earth Sci. **2020**, 79, 94. [CrossRef]
- 30. Choi, SG; Chang, I.; Lee, M. Übersicht über die geotechnischen Eigenschaften von Sanden, die mit mikrobiell induziertem Calciumcarbonat behandelt wurden. Karbonatfällung (MICP) und Biopolymere. Constr. Build. Mater. 2020, 246, 118415. [CrossRef]
- 31. Fajardo, M.; McBratney, AB; Field, DJ Bodentrocknungsbewertung mittels Bilderkennung. Soil Tillage Res. **2016**, 163, 119–129.
- 32. Ze, Z.; Vadim, P.; Svetlana, N. Zerfallseigenschaften eines kryolithogenen Tonlehms mit unterschiedlichem Wassergehalt: Moskau Decklehm (prQIII), Fallstudie. Eng. Geol. **2019**, 258, 105159. [CrossRef]
- 33. Kasmerchak, CS; Mason, JA; Liang, M. Laserbeugungsanalyse der Aggregatstabilität und des Zerfalls in Wald und Grünland Böden im Norden von Minnesota, USA. Geoderma 2019, 338, 430–444. [CrossRef]
- 34. Liu, X.; Zhang, X.; Kong, L. Zerfall von Granitrestböden bei unterschiedlich starker Verwitterung. Eng. Geol. **2022**, 305, 106723. [CrossRef]
- 35. Sun, Y.; Liu, Q.; Xu, HS Einflüsse verschiedener Modifikatoren auf die Zersetzung von verbessertem Granitrestboden unter nassen und Trockenzyklen. Int. J. Min. Sci. Technol. **2022**, 32, 831–845. [CrossRef]
- 36. Zhang, S.; Tang, HM Experimentelle Untersuchung des Zerfallsmechanismus für ungesättigten Granitrestboden. Rock Soil Mech. 2013, 34. 1668–1674.
- 37. Meyer, F.; Bang, S.; Min, S.; Stetler, L.; Bang, S. Mikrobiologisch induzierte Bodenstabilisierung: Anwendung von Sporosarcina pasturii zur Kontrolle flüchtiger Staubpartikel. In Geo-Frontiers 2011: Fortschritte in der Geotechnik; American Society of Civil Engineers: Reston, VA, USA, 2011; S. 4002–4011.
- 38. Wang, R.; Tang, CS; Pan, X.; Shen, Z.; Liu, Y.; Lu, X. Ein biotechnologischer Ansatz zur Entfernung von Schwebstoffen in Biogasschlämmen durch mikrobiell induzierte Kalzitfällung (MICP). J. Clean. Prod. 2024, 459, 142537. [CrossRef]
- 39. Katebi, H.; Fahmi, A.; Ouria, A.; Babaeian Amini, A.; Kafil, HS Mikrobielle Oberflächenbehandlung von Sand mit Sporosarcina pasturii zur Verbesserung der Winderosionsresistenz im Urmia-See. Appl. Umwelt. Bodenkunde. 2021, 8893115. [CrossRef]
- 40. Bruce Donald, A. Glossar der Fugenterminologie. J. Geotech. Geoenviron. Eng. 2005, 131, 1534–1542. [CrossRef]

Haftungsausschluss/Anmerkung des Herausgebers: Die in allen Veröffentlichungen enthaltenen Aussagen, Meinungen und Daten sind ausschließlich die der einzelnen Autoren und Mitwirkenden und nicht die von MDPI und/oder den Herausgebern. MDPI und/oder die Herausgeber lehnen jegliche Verantwortung für Personen- oder Sachschäden ab, die aus den im Inhalt erwähnten Ideen, Methoden, Anweisungen oder Produkten resultieren.